

# **Schémas combinés volumes Finis/éléments finis pour des écoulements en milieu poreux**

**Mazen SAAD**



## **Table des matières**

<b>1 Exercices</b>	<b>4</b>
--------------------	----------

## 1 Exercices

### Exercice 1.1 (Matrices monotones)

- On dit qu'une matrice  $A$  est **monotone** ssi ( $A$  inversible et  $A^{-1} \geq 0$ ). Montrer que  $A$  monotone ssi ( $Ax \geq 0$  alors  $x \geq 0$ ).
- (Exemples de matrices monotones). Soit  $A$  une matrice vérifiant  $a_{i,j} \leq 0 \forall i \neq j$  et  $\sum_{j=1}^n a_{i,j} > 0$  pour tout  $i = 1, N$ . Montrer que
  - $a_{i,i} > 0$ .
  - Ecrire  $A = D(I - M)$  avec  $D$  la diagonale de  $A$  et  $M$  à préciser.
  - Montrer que  $\rho(M) < 1$  ( $\rho$  rayon spectrale) et  $A$  monotone.
- En déduire que si  $A$  une matrice inversible vérifiant  $a_{i,j} \leq 0 \forall i \neq j$  et  $\sum_{j=1}^n a_{i,j} \geq 0$ , alors  $A$  monotone.

### Exercice 1.2 (Condition suffisante pour la stabilité $l^\infty$ )

Soit  $A$  une matrice vérifiant

- La matrice  $A$  est **monotone**
- $\exists$  un vecteur  $V \in \mathbb{R}^n$  tel que  $AV \geq \mathcal{E}$  avec  $\mathcal{E} = (1, \dots, 1)$

Alors  $\|A^{-1}\|_\infty \leq \|V\|_\infty$ .

### Exercice 1.3 (Equation de Laplace en 1D sur un maillage non uniforme)

On considère le problème suivant

$$-\partial_x(\lambda(x)\partial_x u)(x) = f(x) \text{ pour } x \in ]0, L[ \quad (1.1)$$

$$u(0) = u(L) = 0 \quad (1.2)$$

avec  $f$  régulière, dans  $C^0([0, 1])$ ,  $\lambda(x) \geq \lambda_0 > 0$ .

On souhaite approcher la solution du problème sur un maillage irrégulier. Pour cela, on divise l'intervalle  $]0, L[$  en  $N$  intervalles de longueur  $h_1, h_2, \dots, h_N$ . On note  $x_i$  le centre de la maille  $M_i = ]x_{i-\frac{1}{2}}, x_{i+\frac{1}{2}}[$ , alors  $x_{\frac{1}{2}} = 0$  et  $x_{N+\frac{1}{2}} = L$

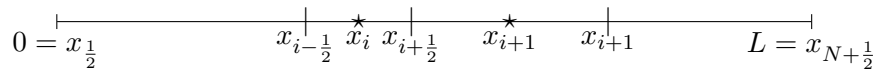


FIGURE 1 – Maillage.

Le principe des volumes finis consiste à intégrer l'équation sur chaque maille  $M_i$  :

$$\lambda(x_{i-\frac{1}{2}})\partial_x u(x_{i-\frac{1}{2}}) - \lambda(x_{i+\frac{1}{2}})\partial_x u(x_{i+\frac{1}{2}}) = \int_{x_{i-\frac{1}{2}}}^{x_{i+\frac{1}{2}}} f(x)dx, \text{ pour } i = 1, 2, \dots, N. \quad (1.3)$$

Pour approcher la dérivée  $\partial_x u$  aux interfaces, on considère l'approximation la plus naturelle

$$\partial_x u(x_{i+\frac{1}{2}}) = \frac{u_{i+1} - u_i}{h_{i+\frac{1}{2}}}, \text{ pour } i = 2, N-1 \quad (1.4)$$

avec  $h_{i+\frac{1}{2}} = \frac{h_{i+1} + h_i}{2} = x_{i+1} - x_i$ . C'est une approximation centrée par rapport au point  $\frac{x_{i+1} + x_i}{2}$  qui est différent du point  $x_{i+\frac{1}{2}}$  en général.

En posant  $f_i = \frac{1}{h_i} \int_{x_{i-\frac{1}{2}}}^{x_{i+\frac{1}{2}}} f(x) dx$ , on considère alors le schéma numérique :

$$\lambda_{i-\frac{1}{2}} \frac{u_i - u_{i-1}}{h_{i-\frac{1}{2}}} - \lambda_{i+\frac{1}{2}} \frac{u_{i+1} - u_i}{h_{i+\frac{1}{2}}} = h_i f_i \text{ pour } i = 2, N-1 \quad (1.5)$$

Pour traiter les conditions aux limites, par exemple pour la maille  $M_1$ , on approche alors la dérivée par une dérivée décentrée

$$\partial_x u(x_{\frac{1}{2}}) = \frac{u_1 - u_{\frac{1}{2}}}{x_1 - x_{\frac{1}{2}}}, \quad (1.6)$$

On a  $u_{\frac{1}{2}} = u(0) = 0$ , et on note pour garder les mêmes notations  $h_{\frac{1}{2}} = x_1 - x_{\frac{1}{2}}$ .

1. Préciser alors la condition aux limites à droite.
2. Ecrire précisément le système linéaire à résoudre, en prolongeant la formule pour (1.5) pour  $i = 1, N$
3. Montrer que le système se traduit sous forme matricielle

$$A_h U_h = F_h$$

avec

$$U_h = (u_1, u_2, \dots, u_N)^T, \quad F_h = (h_1 f_1, h_2 f_2, \dots, h_N f_N)^T$$

Préciser  $A_h$ . Montrer que  $A_h$  est inversible en localisant les valeurs propres de  $A_h$ . Montrer que  $A_h$  est monotone.

4. On va montrer **le principe du maximum discret**, à savoir si  $F_h \geq 0$  alors  $u_h \geq 0$ . Pour cela, soit  $i_0$  un plus petit indice tel que

$$u_{i_0} = \min_i u_i < 0$$

Ecrire la ligne  $i_0$  du système linéaire et conclure.

5. Montrer que le principe du maximum assure que la matrice  $A_h$  est inversible.
6. **Formulation variationnelle discrète.**

- (a) Définir les flux  $\mathcal{F}_{i+\frac{1}{2}}$ , pour  $i = 0, N$  de telle sorte que

$$\mathcal{F}_{i+\frac{1}{2}}(u_h) - \mathcal{F}_{i-\frac{1}{2}}(u_h) = h_i f_i \text{ pour } i = 1, N \quad (1.7)$$

- (b) **Intégration par parties.** Soit  $v_h = (v_1, v_2 \dots v_N)$ . Montrer que

$$\sum_{i=1}^{N-1} (\mathcal{F}_{i+\frac{1}{2}} - \mathcal{F}_{i-\frac{1}{2}}) v_i = \sum_{i=1}^{N-1} \mathcal{F}_{i+\frac{1}{2}} (v_i - v_{i+1}) + \mathcal{F}_{N+\frac{1}{2}} v_N - \mathcal{F}_{\frac{1}{2}} v_1$$

En prenant  $v_0 = v_{N+1} = 0$ , On déduit **la formule d'intégration par parties discrètes**

$$\sum_{i=1}^{N-1} (\mathcal{F}_{i+\frac{1}{2}} - \mathcal{F}_{i-\frac{1}{2}}) v_i = \sum_{i=0}^N \mathcal{F}_{i+\frac{1}{2}} (v_i - v_{i+1})$$

(c) En prenant  $u_0 = u_{N+1} = 0$ , montrer que

$$(A_h u_h, v_h) = \sum_{i=0}^N h_{i+\frac{1}{2}} \lambda_{i+\frac{1}{2}} \left( \frac{u_{i+1} - u_i}{h_{i+\frac{1}{2}}} \right) \left( \frac{v_{i+1} - v_i}{h_{i+\frac{1}{2}}} \right). \quad (1.8)$$

Montrer que  $A_h$  est définie positive.

(d) On définit un gradient discret  $\partial_x^h$  constant par interface comme suit :

$$\partial_x^h u_h(x) = \begin{cases} \frac{u_{i+1} - u_i}{h_{i+\frac{1}{2}}} & \text{si } x \in ]x_i, x_{i+1}, i = 1, N-1 \\ \frac{u_1 - 0}{h_{\frac{1}{2}}} & \text{si } x \in ]0, x_1[ \\ \frac{0 - u_N}{h_{N+\frac{1}{2}}} & \text{si } x \in ]x_N, L[ \end{cases}$$

Définir la fonction  $\lambda_h(x)$  constante par interface et en déduire que (1.8) est équivalente à

$$(A_h u_h, v_h) = \int_0^L \lambda_h \partial_x^h u_h(x) \partial_x^h v_h(x) dx = \int_0^L f_h(x) v_h(x) dx \quad (1.9)$$

**7. Inégalité de Poincaré en 1D.** Montrer que

$$\|u_h\|_{L^2} := \left( \sum_{i=1}^N h_i |u_i|^2 \right)^{\frac{1}{2}} \leq \sqrt{L} \|u_h\|_{\infty} \leq L \|\partial_x^h u_h\|_{L^2} := L \left( \sum_{i=0}^N h_{i+\frac{1}{2}} \left| \frac{u_{i+1} - u_i}{h_{i+\frac{1}{2}}} \right|^2 \right)^{\frac{1}{2}}$$

**8. Estimation  $H^1$  discrete.** Montrer qu'il existe  $C$  indépendante de  $h$ , telle que

$$\lambda_0 \|\partial_x^h u_h\|_{L^2(0,L)} \leq C \|f_h\|_2 \leq C \|f\|_{L^2(0,L)}$$

**9. Convergence vers une solution faible.**

(a) Montrer que qu'il existe une sous suite, encore notée,  $(u_h)_h$  telle que

$$u_h \rightharpoonup u \text{ faiblement dans } L^2(0, L) \quad (1.10)$$

$$\partial_x^h u_h \rightharpoonup \xi \text{ faiblement dans } L^2(0, L) \quad (1.11)$$

(b) Soit  $\varphi \in \mathcal{D}(0, L)$ . Montrer que si

$$E_h = \int_0^L \partial_x^h u_h(x) \varphi(x) dx + \int_0^L u_h \partial_x \varphi dx \rightarrow 0, \text{ quand } h \rightarrow 0 \quad (1.12)$$

alors  $\xi = \partial_x u \in \mathcal{D}'(0, L)$  (au sens des distributions).

(c) Montrer que

$$\int_0^L u_h \partial_x \varphi dx = - \sum_{i=0}^N (u_{i+1} - u_i) \varphi(x_{i+\frac{1}{2}}).$$

En utilisant la définition du gradient discret, développer  $\int_0^L \partial_x^h u_h(x) \varphi(x) dx$ . En déduire qu'il existe une fonction  $c_i(\varphi)$  dépendante de  $\varphi$  telle

$$E_h = \sum_{i=0}^N \left( \frac{u_{i+1} - u_i}{h_{i+\frac{1}{2}}} \right) c_i(\varphi) h_{i+\frac{1}{2}}^2.$$

Montrer (1.12) et conclure.

- (d) Soit  $v \in \mathcal{D}(0, L)$ , on considère  $v_h(x)$  la fonction constante par morceaux associée à  $(v(x_i))_{i=1, N}$ . Passer à la limite dans la formulation variationnelle discrète (1.9) et préciser la formulation décrite par la solution  $u$ .

10. **Consistance.** Dans cette partie, pour alléger les notations on considère  $\lambda = 1$ . On définit l'erreur de troncature  $T_h = {}^t(T_0, T_1, \dots, T_N)$  avec

$$(T_h)_i = \frac{1}{h_i} \left( \frac{u(x_i) - u(x_{i-1})}{h_{i-\frac{1}{2}}} - \frac{u(x_{i+1}) - u(x_i)}{h_{i+\frac{1}{2}}} \right) - f_i := (\tilde{A}_h \bar{U}_h)_i - f_i$$

avec  $u(x_i)$  est la valeur de la solution exacte au point  $x_i$ , le vecteur  $\bar{U}_h = (u(x_i))_i$ , la matrice  $\tilde{A}_h$  est la matrice  $A_h$  où chaque ligne  $i$  est divisée par  $h_i$ .

- (a) Soit  $f = 1$ , donner la solution exacte  $u(x)$ . Considérer le maillage tel que  $h_{2i} = h$  et  $h_{2i+1} = 2h$ . Calculer  $T_{2i}$  et  $T_{2i+1}$ . Montrer que le schéma n'est pas consistant.
- (b) Ecrire le développement de Taylor de  $\frac{u(x_{i+1}) - u(x_i)}{h_{i+\frac{1}{2}}}$  au point  $x_{i+\frac{1}{2}}$  à l'ordre 4 et montrer que l'erreur de consistance s'écrit comme suit :

$$T_h = T_h^0 + T_h^1, \quad (1.13)$$

avec

$$T_h^0 = \frac{1}{h_i} (u'(x_{i+\frac{1}{2}}) - u'(x_{i-\frac{1}{2}})) - \frac{1}{h_i} \int_{x_{i-\frac{1}{2}}}^{x_{i+\frac{1}{2}}} f(x) dx + O(h^2) \quad (1.14)$$

$$T_h^1 = \frac{1}{h_i} (\alpha_{i+\frac{1}{2}} - \alpha_{i-\frac{1}{2}}) + O(h) \quad (1.15)$$

En déduire que le schéma est consistant ssi le maillage est uniforme.

- (c) (Consistance faible). Montrer que  $T_h^1$  est l'image par l'opérateur aux différences d'une fonction  $\psi_h$  définie constante par maille, telle que

$$T_h^1 = \tilde{A}_h \psi_h + O(h) \text{ et } (\psi_h)_i = \frac{h_i^2}{4} u''(x_i) \text{ sur } ]x_{i-1/2}, x_{i+1/2}[. \quad (1.16)$$

- (d) **Stabilité  $L^\infty$ .** On définit  $v(x) = x - x^2$ , montrer que

$$(\tilde{A}_h V_h)_i = 1 + \frac{h_{i-1} h_{i+1}}{2h_i}.$$

En déduire

$$\|\tilde{A}_h^{-1}\|_\infty \leq 1/4.$$

- (e) **(Ordre de convergence)** Nous allons démontré que la consistance faible et la stabilité assure la convergence du schéma.  
Montrer que

$$\|\bar{U}_h - U_h\|_\infty \leq \|\tilde{A}_h^{-1}\|_\infty \|T_h^0\|_\infty + \|\psi_h\|_\infty + O(h) \|\tilde{A}_h^{-1}\|_\infty.$$

Conclure.



**Exercice 1.4 (Equation de Laplace avec terme convectif sur un maillage triangulaire)**

On considère l'équation elliptique suivante

$$-\Delta u(x) + \operatorname{div}(\mathbf{V}(x)u(x)) + bu(x) = f(x), \quad x \in \Omega \quad (1.17)$$

avec la condition aux limites suivante :

$$u(x) = 0, \quad x \in \partial\Omega. \quad (1.18)$$

On suppose :

- (i)  $\Omega$  est un ouvert borné polygonal de  $\mathbb{R}^2$ ,
- (ii)  $b \geq 0$
- (iii)  $f \in L^2(\Omega)$
- (iv)  $\mathbf{V} \in \mathcal{C}^1(\bar{\Omega}, \mathbb{R}^2)$  et  $\operatorname{div} \mathbf{V}(x) \geq 0$ .

Soit  $\mathcal{T}$  une triangulation admissible et satisfaisant la condition d'orthogonalité de  $\Omega$ . On note

- (a)  $\sigma_{KL} = \partial K \cap \partial L$ , pour  $K, L \in \mathcal{T}$ .
- (b)  $x_K$  le centre de  $K$ , et  $x_K x_L$  est orthogonal à  $\sigma_{KL}$ .
- (c)  $d_{KL} = \|x_L - x_K\|$  si  $\sigma_{KL} \not\subseteq \partial\Omega$  et  $d_{K\sigma} = \|x_K - x_\sigma\|$  si  $\sigma = \partial K \cap \partial\Omega$ .
- (d) **Les voisins** :  $\mathcal{N}_K^o = \{L; \sigma_{KL} \not\subseteq \partial\Omega\}$ ,  $\mathcal{N}_K^\sigma = \{\sigma; \sigma \subset \partial K \cap \partial\Omega\}$  et  $\mathcal{N}_K = \mathcal{N}_K^o \cup \mathcal{N}_K^\sigma$ .
- (e) **Coefficient de transmissibilité** :  $\tau_{KL} = |\sigma_{KL}|/d_{KL}$  et  $\tau_{K\sigma} = |\sigma_{K\sigma}|/d_{K\sigma}$
- (f)  $\mathcal{E}^o = \{\sigma_{KL}; \sigma_{KL} \not\subseteq \partial\Omega\}$  : ensemble des segments à l'intérieur du domaine.
- (g)  $\mathcal{E}^\sigma = \{\sigma_{K\sigma}; \sigma_{K\sigma} \subset \partial\Omega \cap \partial K\}$

On considère le schéma numérique suivant : Pour tout  $K$

$$\sum_{L \in \mathcal{N}_K^o} \tau_{KL}(u_K - u_L) + \sum_{\sigma \in \mathcal{N}_K^\sigma} \tau_{K\sigma} u_K + \sum_{L \in \mathcal{N}_K^o} V_{KL} u_{KL} + \sum_{\sigma \in \mathcal{N}_K^\sigma} V_{K\sigma} u_{K\sigma} + b|K|u_K = |K|f_K, \quad (1.19)$$

où

$$V_{KL} = \int_{\sigma_{KL}} \mathbf{V}(x) \cdot n_{KL} dx, \text{ et } V_{K\sigma} = \int_{\sigma_{K\sigma}} \mathbf{V}(x) \cdot n_{K\sigma} dx,$$

$$u_{KL} = \begin{cases} u_K & \text{si } V_{KL} \geq 0 \\ u_L & \text{si } V_{KL} < 0, \end{cases} \text{ et } u_{K\sigma} = \begin{cases} u_K & \text{si } V_{K\sigma} \geq 0 \\ 0 & \text{si } V_{K\sigma} < 0, \end{cases}$$

$$f_K = \frac{1}{|K|} \int_K f(x) dx, \quad |K| = \operatorname{aire}(K), \quad |\sigma_{KL}| = \operatorname{mesure}(\sigma_{KL}).$$

1. On note  $V_{KL}^+ = \max(0, V_{KL})$  et  $V_{KL}^- = \min(0, V_{KL})$ . Soit  $G_{KL} = V_{KL} u_{KL}$  le flux convectif à l'interface  $\sigma_{KL}$ , c'est un schéma **upwind ou upstream ou décentré**. Exprimer le flux en fonction de  $V_{KL}^+$  et  $V_{KL}^-$  et montrer que le flux est conservatif :

$$G_{KL} = -G_{LK}.$$

2. Ecrire le système linéaire associé à la figure 2.

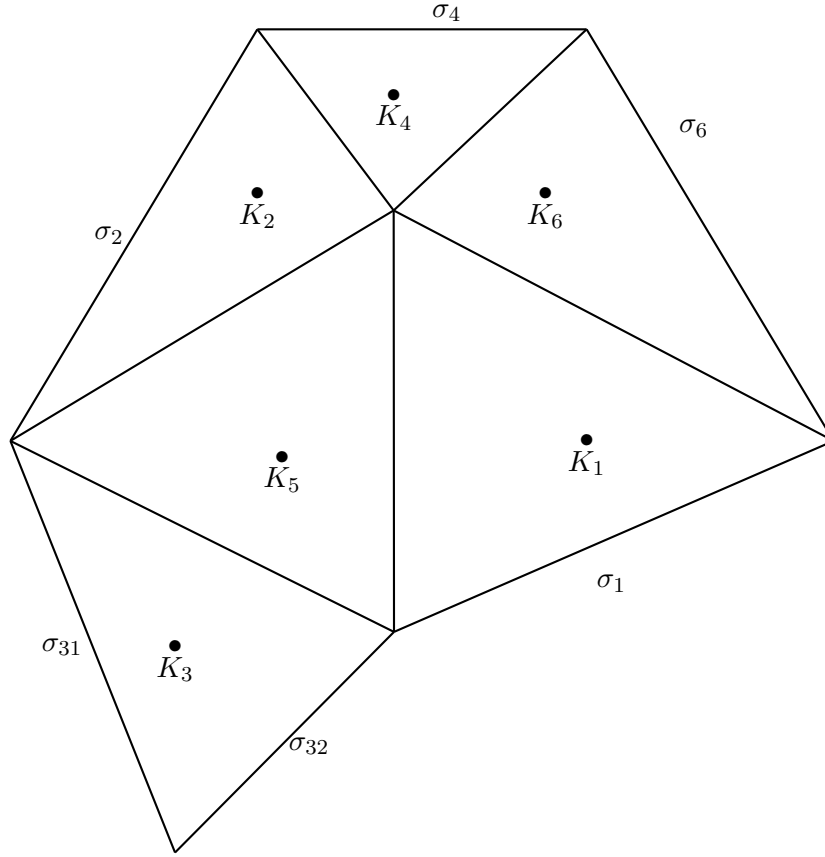


FIGURE 2 – Maillage

3. On va montrer **le principe du maximum** suivant :

Si  $f_K \geq 0$  pour tout  $K \in \mathcal{T}$ , alors  $u_K \geq 0$  pour tout  $K \in \mathcal{T}$ .

Pour cela, soit  $K_0 = \operatorname{argmin}_{K \in \mathcal{T}_h} u_K$ . On suppose  $u_{K_0} < 0$ . Ecrire l'équation satisfaite par  $K_0$ . Montrer que le terme convectif vérifie :

$$\sum_{L \in N_{K_0}} V_{K_0 L} u_{K_0 L} \leq u_{K_0} \sum_{L \in N_{K_0}} V_{K_0 L} \leq 0.$$

Déduire une contradiction sur l'équation de  $K_0$  et conclure.

4. **Terme convectif cas continu.** Montrer que, pour tout  $u \in H_0^1(\Omega)$ ,

$$\int_{\Omega} \operatorname{div}(\mathbf{V}u)u \, dx = - \int_{\Omega} \mathbf{V} \cdot \nabla \frac{u^2}{2} \, dx = \int_{\Omega} \operatorname{div}(\mathbf{V}) \frac{u^2}{2} \, dx \geq 0$$

5. **Terme convectif cas discret.** On note

$$G_{conv} = \sum_{K \in \mathcal{T}_h} \left( \sum_{L \in N_K^o} V_{KL} u_{KL} + \sum_{\sigma \in N_K^\sigma} V_{K\sigma} u_{K\sigma} \right) u_K.$$

Montrer que

$$G_{conv} = \sum_{\sigma_{KL}} \left( \frac{V_{KL}}{2} (u_K^2 - u_L^2) + \frac{|V_{KL}|}{2} (u_K - u_L)^2 \right), \quad (1.20)$$

avec la notation  $u_L = 0$  si  $\sigma_{KL} \in \partial\Omega$ .

Montrer que

$$\sum_{\sigma_{KL}} \frac{V_{KL}}{2} (u_K^2 - u_L^2) = \frac{1}{2} \sum_{K \in \mathcal{T}_h} u_K^2 \int_K \operatorname{div}(\mathbf{V}) dx. \quad (1.21)$$

En déduire que

$$G_{conv} \geq 0.$$

6. On note  $u_h(x)$  la fonction définie constante par triangle, c'est-à-dire :  $u_h(x) = u_K$  pour  $x \in K$ . Définir, d'après le cours, le gradient discret noté  $\nabla_h u_h$  constant par diamond. On définit alors la norme discrète suivante :

$$\|u_h\|_{1,h} = \left( \sum_{\sigma_{KL} \in \mathcal{E}^o} \tau_{KL} |u_K - u_L|^2 + \sum_{\sigma_{K\sigma} \in \mathcal{E}^\sigma} \tau_{K\sigma} |u_K|^2 \right)^{\frac{1}{2}}.$$

Soit  $\psi_h(x) = \sum_{K \in \mathcal{T}_h} \psi_K \mathbf{1}_K(x)$ . Montrer que le schéma (1.19) est équivalent à la formulation variationnelle discrète

$$\begin{aligned} & \left( \sum_{\sigma_{KL} \in \mathcal{E}^o} \tau_{KL} (u_K - u_L) (\psi_K - \psi_L) + \sum_{\sigma_{K\sigma} \in \mathcal{E}^\sigma} \tau_{K\sigma} u_K \psi_K \right) \\ & + \sum_{K \in \mathcal{T}_h} \left( \sum_{L \in N_K^o} V_{KL} u_{KL} + \sum_{\sigma \in N_K^\sigma} V_{K\sigma} u_{K\sigma} \right) \psi_K + b \int_\Omega u_h \psi_h dx = \int_\Omega f_h \psi_h dx, \end{aligned} \quad (1.22)$$

7. En utilisant l'inégalité de Poincaré, montrer que la norme  $H^1$ -discrète est bornée :  $\exists C > 0$  telle que

$$\|u_h\|_{1,h} \leq C.$$

Que peut-on déduire sur la convergence de la suite  $(u_h)_h$ .

## 8. Projection dans $L^2$ .

- (a) Soit  $\varphi \in \mathcal{C}_c^0(\Omega)$ , vérifier que  $\varphi_h(x) = \sum_{K \in \mathcal{T}_h} \varphi(x_K) \mathbf{1}_K(x)$  converge fortement dans  $L^2(\Omega)$  (et dans  $L^p(\Omega)$ ,  $p \geq 1$ ).
- (b) Pour  $f \in L^2(\Omega)$ , la fonction  $f_h(x) := \pi_h f := \sum_{K \in \mathcal{T}_h} f_K \mathbf{1}_K(x)$  et  $f_K$  est la moyenne sur  $K$ . Montrer que i)  $\|\pi_h f\|_{L^2(\Omega)} \leq \|f\|_{L^2(\Omega)}$ , ii) Par densité de  $\mathcal{C}_c^0(\Omega)$  dans  $L^2(\Omega)$ , montrer que  $\pi_h f \rightarrow f$  dans  $L^2(\Omega)$ , iii)  $\pi_h f \rightarrow f$  dans  $L^p(\Omega)$   $p \geq 1$ .

9. **Convergence.** Soit  $\varphi \in \mathcal{D}(\Omega)$ . Soit  $\varphi_h(x) = \sum_{K \in \mathcal{T}_h} \varphi(x_K) \mathbf{1}_K(x)$ , on considère alors  $\varphi_h(x)$  comme fonction test dans (1.23) et on note chaque terme comme suit :  $T_h^d + T_h^c + T_h^b = T_h^f$ .

- (a) Montrer que  $T_h^d$  s'écrit :

$$T_h^d = \int_\Omega \nabla_h u_h \cdot (\nabla \varphi)_h dx \quad (1.23)$$

où  $(\nabla \varphi)_h$  est une fonction définie constante par diamond comme le gradient de  $\phi$  en un point du diamond. Passer à la limite.

- (b) Montrer la convergence de  $T_h^b$  et  $T_h^f$ .

(c) **Terme Convectif.**

- i. Le cas continue. Montrer que, pour
- $u \in H_0^1(\Omega)$
- et
- $\varphi \in H^1(\Omega)$

$$\int_{\Omega} \operatorname{div}(\mathbf{V}u)\varphi dx = \int_{\Omega} u\psi \operatorname{div} \mathbf{V} dx - \int_{\Omega} u \operatorname{div}(\mathbf{V}\varphi) dx.$$

- ii. Vérifier que

$$T_h^c = \sum_{K \in \mathcal{T}_h} \sum_{L \in N_K} u_K V_{KL} \varphi(x_K) + \sum_{K \in \mathcal{T}_h} \sum_{L \in N_K} (u_{KL} - u_K) V_{KL} \varphi(x_K) := (T_h^c)_1 + (T_h^c)_2$$

- iii. Montrer que

$$(T_h^c)_1 = \int_{\Omega} u_h \varphi_h \operatorname{div} \mathbf{V} dx.$$

Passer à la limite.

- iv. Vérifier que

$$\begin{aligned} (T_h^c)_2 &= \sum_{K \in \mathcal{T}_h} \sum_{L \in N_K} (u_{KL} - u_K) \int_{\sigma_{KL}} \mathbf{V} \cdot \mathbf{n}_{KL} (\varphi(x_K) - \varphi(x)) dx \\ &\quad + \sum_{K \in \mathcal{T}_h} \sum_{L \in N_K} u_{KL} \int_{\sigma_{KL}} (\mathbf{V} \cdot \mathbf{n}_{KL} \varphi(x)) dx - \sum_{K \in \mathcal{T}_h} \sum_{L \in N_K} u_K \int_{\sigma_{KL}} (\mathbf{V} \cdot \mathbf{n}_{KL} \varphi(x)) dx \\ &:= (R_h^c)_1 + (R_h^c)_2 + (R_h^c)_3 \end{aligned}$$

- v. Montrer que

$$|(R_h^c)_1| \leq C(\varphi)h \|u_h\|_{1,h}.$$

- vi. En intégrant par parties, montrer que
- $(R_h^c)_2 = 0$
- .

- vii. Montrer que

$$(R_h^c)_3 = - \int_{\Omega} u_h \operatorname{div}(\varphi \mathbf{V}) dx.$$

Conclure.

10. Ecrire la formulation variationnelle satisfaite par
- $u$
- .